
EXPLOTACIÓN DE LA RED DE SEGUIMIENTO DE EMBALSES EN APLICACIÓN DE LA DIRECTIVA MARCO DEL AGUA EN LA DEMARCACIÓN HIDROGRÁFICA DEL EBRO

INFORME FINAL DEL EMBALSE DE SANTOLEA



ÁREA DE CALIDAD DE AGUAS
CONFEDERACIÓN HIDROGRÁFICA DEL EBRO

EXPLOTACIÓN DE LA RED DE SEGUIMIENTO DE EMBALSES EN APLICACIÓN DE LA DIRECTIVA MARCO DEL AGUA EN LA DEMARCACIÓN HIDROGRÁFICA DEL EBRO

PROMOTOR:

CONFEDERACIÓN HIDROGRÁFICA DEL EBRO



SERVICIO:

CONTROL DEL ESTADO ECOLÓGICO

DIRECCIÓN DEL PROYECTO:

Concha Durán Lalaguna y María José Rodríguez Pérez

EMPRESA CONSULTORA:

Instituto Cavanilles de Biodiversidad y Biología Evolutiva de la Universidad de Valencia Estudi General

EQUIPO DE TRABAJO:

Área de Limnología, dirigida por Dr. Eduardo Vicente Pedrós, Catedrático de Ecología. Director del Estudio.

PRESUPUESTO DE LA ADJUDICACIÓN:

69.814,27 €

CONTENIDO:

INFORME INDIVIDUAL DEL EMBALSE DE SANTOLEA

AÑO DE EJECUCIÓN:

2013

FECHA ENTREGA:

DICIEMBRE 2013

REFERENCIA IMÁGENES PORTADA:

Vista del punto de acceso al embalse de Santolea.

CITA DEL DOCUMENTO: Confederación Hidrográfica del Ebro (2013). Explotación de la red de seguimiento de embalses en aplicación de la Directiva Marco del Agua en la Demarcación Hidrográfica del Ebro. 198 págs. más anejos. Disponible en PDF en la web: <http://www.chebro.es>

El presente informe pertenece al Dominio Público en cuanto a los Derechos Patrimoniales recogidos por el Convenio de Berna. Sin embargo, se reconocen los Derechos de los Autores y de la Confederación Hidrográfica del Ebro a preservar la integridad del mismo, las alteraciones o la realización de derivados sin la preceptiva autorización administrativa con fines comerciales, o la cita de la fuente original en cuanto a la infracción por plagio o colusión. A los efectos prevenidos, las autorizaciones para uso no científico del contenido deberán solicitarse a la Confederación Hidrográfica del Ebro.

ÍNDICE

	Página
1. INTRODUCCIÓN	7
2. DESCRIPCIÓN GENERAL DEL EMBALSE Y DE LA CUENCA VERTIENTE	7
2.1. <i>Ámbito geológico y geográfico</i>	7
2.2. <i>Características morfométricas e hidrológicas</i>	8
2.3. <i>Usos del agua</i>	9
2.4. <i>Registro de zonas protegidas</i>	9
3. TRABAJOS REALIZADOS	10
4. DIAGNÓSTICO DE LA SITUACIÓN ACTUAL	11
4.1. <i>Características fisicoquímicas de las aguas</i>	11
4.2. <i>Hidroquímica del embalse</i>	14
4.3. <i>Fitoplancton y concentración de clorofila</i>	15
4.4. <i>Zooplancton</i>	19
5. DIAGNÓSTICO DEL GRADO TRÓFICO	21
6. DIAGNÓSTICO DEL POTENCIAL ECOLÓGICO	22
ANEXO I. REPORTAJE FOTOGRÁFICO	

ÍNDICE DE FIGURAS Y TABLAS

ÍNDICE DE FIGURAS CORRESPONDIENTES A GRÁFICOS Y FOTOS

Figura 1. Volumen embalsado y salida durante el año hidrológico 2012-2013.	9
Figura 2. Localización de la estación de muestreo en el embalse.	10
Figura 3. Perfil vertical de la temperatura y pH	11
Figura 4. Perfil vertical de la extinción luminosa y oxígeno disuelto	12
Figura 5. Perfil vertical de la conductividad	13
Figura 6. Perfil vertical de la clorofila <i>a</i>	16
Figura 7. Fotografía de la presa del embalse.....	28
Figura 8. Fotografía del punto de acceso al embalse.	28
Figura 9. Fotografía de la cola del embalse y nueva presa del puente	29

ÍNDICE DE TABLAS

Tabla 1. Características morfométricas del embalse de Santolea	8
Tabla 2. Estructura y composición de la comunidad de fitoplancton.....	15
Tabla 3. Composición detallada de la comunidad de fitoplancton.....	16
Tabla 4. Estructura y composición de la comunidad de zooplancton.....	19
Tabla 5. Composición detallada de la comunidad de zooplancton.....	20
Tabla 6. Parámetros indicadores y rangos de estado trófico.	21
Tabla 7. Diagnóstico del estado trófico del embalse de Santolea.....	21
Tabla 8. Parámetros y rangos para la determinación del potencial ecológico experimental.	22
Tabla 9. Combinación de los indicadores.....	23
Tabla 10. Diagnóstico del potencial ecológico del embalse de Santolea	23
Tabla 11. Valores de referencia propios del tipo (VR_t) y límites de cambio de clase de potencial ecológico (B/M, Bueno-Moderado) de los indicadores de los elementos de calidad de embalses (Orden ARM/2656/2008).	24
Tabla 12. Parámetros, rangos del RECT y valores para la determinación del potencial ecológico normativo.	25
Tabla 13. Combinación de los indicadores.....	25
Tabla 14. Diagnóstico del potencial ecológico (PE_{norm}) del embalse de Santolea.	26

1. INTRODUCCIÓN

El presente documento recoge los resultados de los trabajos realizados en el embalse de Santolea durante los muestreos de 2013 y la interpretación de los mismos, a efectos de proporcionar una referencia que facilite la consulta y explotación de la información obtenida.

En general, se recurre a presentaciones gráficas y sintéticas de la información, acompañadas de un texto conciso, lo que permitirá una consulta ágil y rápida del documento.

En el **Anexo I** se presenta un reportaje fotográfico que refleja el aspecto del embalse durante el periodo estudiado (verano 2013, correspondiente al año hidrológico 2012-2013).

En apartados sucesivos se comentan los siguientes aspectos:

- Resultados del estudio en el embalse (FASE DE CARACTERIZACIÓN) de todos los aspectos tratados (hidrológicos, fisicoquímicos y biológicos), que culminan en el diagnóstico del grado trófico.
- Clasificación del “Potencial Ecológico”, tras la aplicación de los indicadores biológicos y fisicoquímicos propuestos en la Directiva Marco del Agua.

2. DESCRIPCIÓN GENERAL DEL EMBALSE Y DE LA CUENCA VERTIENTE

2.1. Ámbito geológico y geográfico

La cuenca vertiente al embalse de Santolea está situada en el borde meridional de la Rama Aragonesa de la Cordillera Ibérica, al Sur de la Depresión terciaria del Ebro y al NW de la zona conocida como el Maestrazgo.

El embalse, en términos geológicos, se encuentra entre materiales desde el Cretácico Superior hasta el Cuaternario. Encontrando dolomías, calizas, margas, conglomerados, lutitas, gravas, arenas (formación de arenas de Utrillas) y arcillas. En el Cuaternario se localizan los depósitos aluviales de gravas; limos y arcillas.

El embalse de Santolea se sitúa dentro del término municipal de Castellote, en la provincia de Teruel. Regula las aguas del río Guadalope.

2.2. Características morfométricas e hidrológicas

Se trata de un embalse de moderadas dimensiones de geometría irregular.

La cuenca vertiente al embalse de Santolea tiene una superficie de 122703,97 ha.

El embalse tiene una capacidad total de 47,67 hm³, que coincide con la capacidad útil. Caracterizado por una profundidad media de 16 m, mientras que la profundidad máxima alcanza los 44 m.

En la tabla 1 se presentan las características morfométricas del embalse.

Tabla 1. Características morfométricas del embalse de Santolea.

Superficie de la cuenca	1250 km ²
Capacidad total N.M.N.	47,67 hm ³
Capacidad útil	47,67 hm ³
Aportación media anual	106 hm ³
Superficie inundada	385 ha
Cota máximo embalse normal	583,35 msnm

Tipo de clasificación: 11. Monomítico, calcáreo de zonas no húmedas, pertenecientes a ríos de la red principal.

Se trata de un embalse monomítico de geología calcárea y situado en zona no húmeda de la red principal. En el periodo estival no existe termoclina. El límite inferior de la capa fótica se encuentra a 16 metros de profundidad determinado mediante medidor fotoeléctrico, aunque la estimación mediante el Disco de Secchi era de 14,6 m.

El tiempo de residencia hidráulica media en el embalse de Santolea para el año hidrológico 2012-2013 fue de 3,28 meses.

En la figura 1 se presentan los valores diarios del volumen embalsado y salida media correspondientes al año hidrológico 2012-2013.

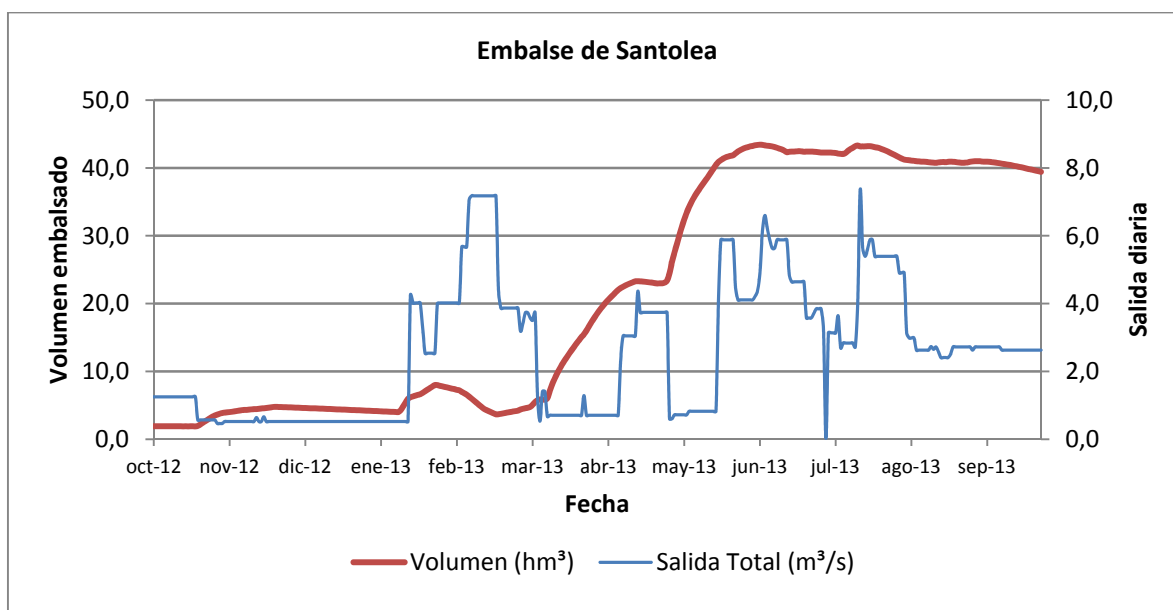


Figura 1. Volumen embalsado y salida durante el año hidrológico 2012-2013.

2.3. Usos del agua

Las aguas del embalse se destinan principalmente al riego y al abastecimiento de la población. La navegación está permitida (sin restricciones para el remo, con condiciones poco favorables para la vela, y con limitaciones para motor) en este embalse.

2.4. Registro de zonas protegidas

El embalse de Santolea forma parte del Registro de Zonas Protegidas elaborado por la Confederación Hidrográfica del Ebro, en contestación al artículo 6 de la Directiva Marco del Agua, en la categoría de zona de extracción de agua para consumo humano y zonas de protección de hábitats o especies (Punto Red Natura 2000: ZEPA ES0000306 "Río Guadalupe-Maestrazgo").

3. TRABAJOS REALIZADOS

Para acometer la caracterización del embalse se ha ubicado una estación de muestreo en las inmediaciones de la presa (ver figura 2). Se ha completado una campaña de muestreo el 21 de Agosto de 2013, en la que se midieron *in situ* los parámetros fisicoquímicos y la transparencia en la columna de agua, se tomó una muestra de agua integrada y otras puntuales para los análisis químicos y se realizaron muestreos de fitoplancton y zooplancton.

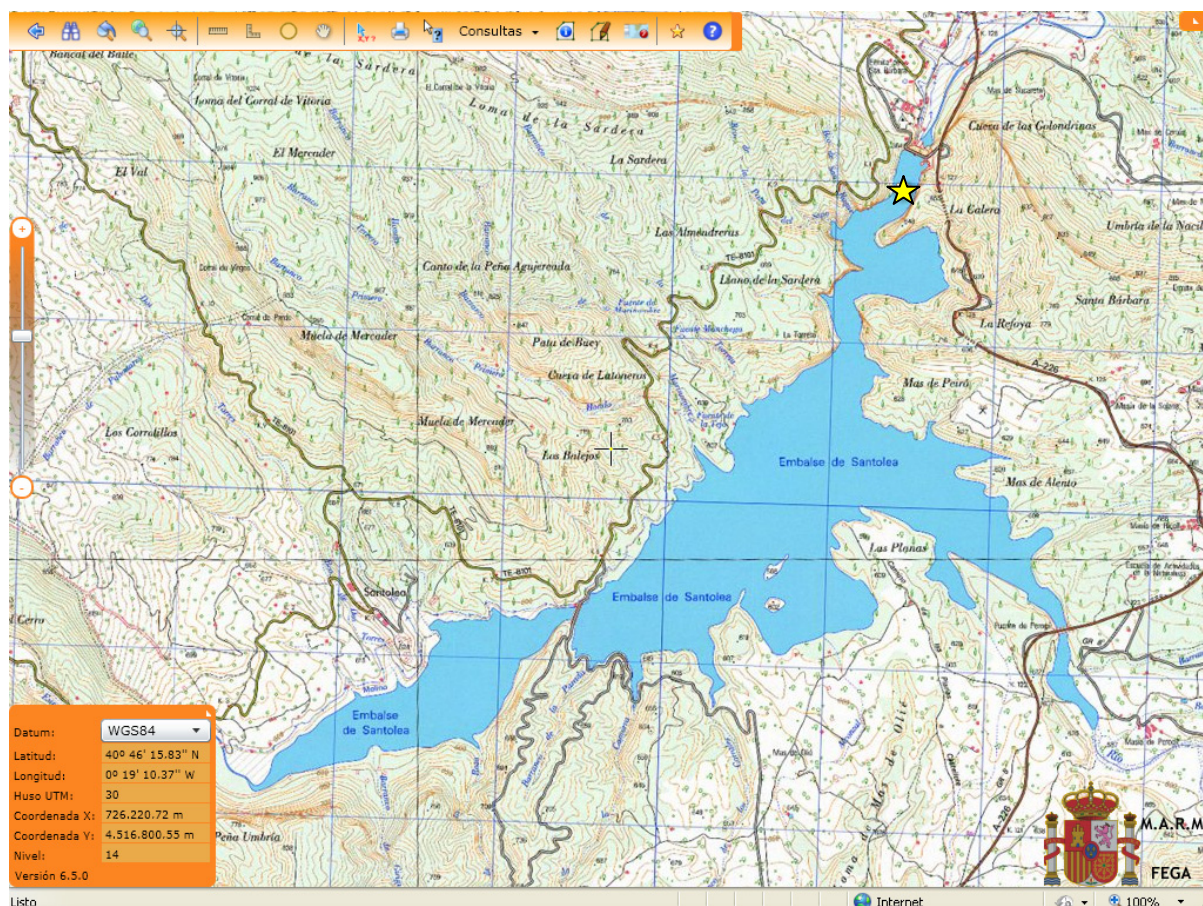
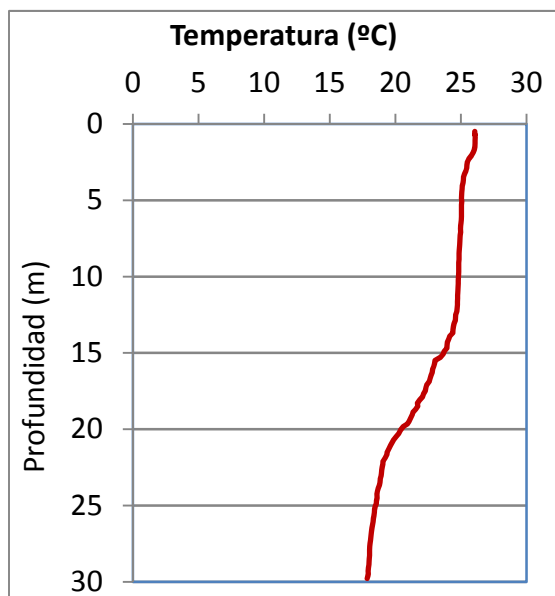


Figura 2. Localización de la estación de muestreo en el embalse.

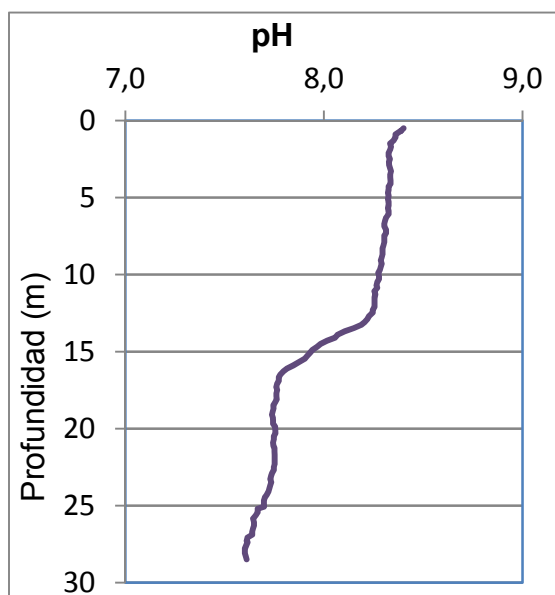
3. DIAGNÓSTICO DE LA SITUACIÓN ACTUAL

3.1. Características fisicoquímicas de las aguas

De los resultados obtenidos se desprenden las siguientes apreciaciones:

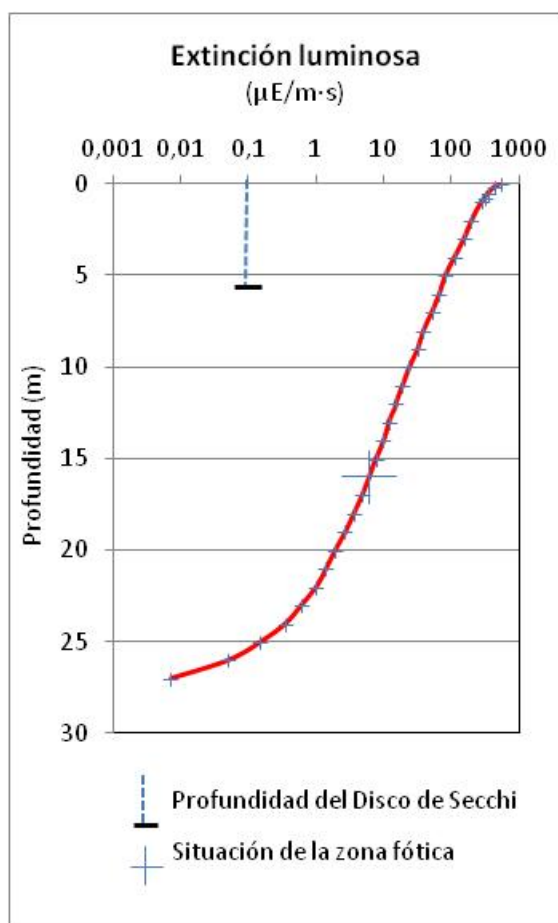


La temperatura del agua oscila entre los 17,86 °C – en el fondo- y los 26,06 °C - máximo registrado en superficie-. En el momento del muestreo (Agosto 2013) no existe termoclina.



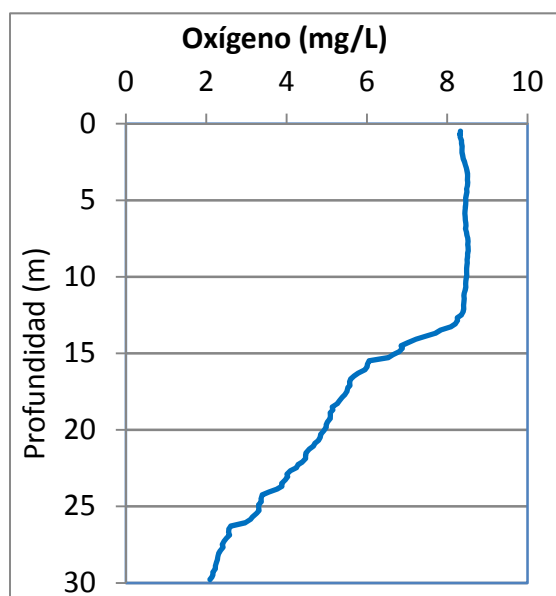
El pH del agua en la superficie es de 8,40. En el fondo del embalse el valor del pH es de 7,61. Valores máximo y mínimo del perfil.

Figura 3. Perfil vertical de la temperatura y pH.



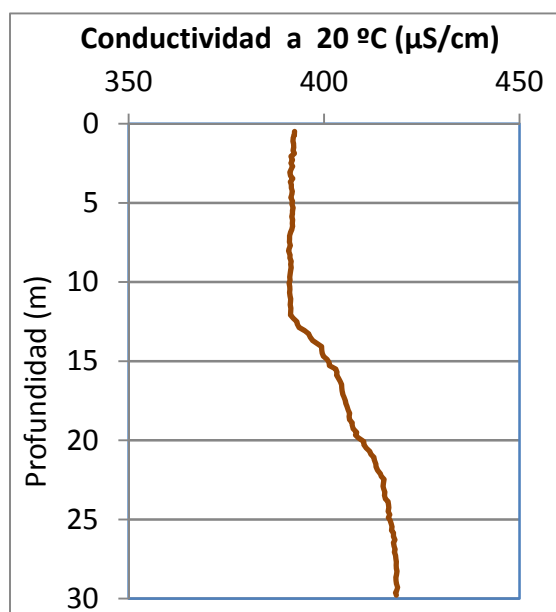
La transparencia del agua registrada en la lectura de disco de Secchi (DS) es de 5,85 metros, lo que supone una profundidad de la capa fótica en torno a 14,6 metros. Sin embargo, la determinación mediante medidor fotoeléctrico proporciona el valor de 16 m como espesor de la capa fótica.

La turbidez media de la zona eufótica (muestra integrada a 16 m de profundidad) fue de 0,61 UAF.



Las condiciones de oxigenación de la columna de agua alcanzan en el muestreo una concentración media de 6,16 mg/L. No se han detectado condiciones anóxicas ($<2 \text{ mg O}_2/\text{L}$).

Figura 4. Perfil vertical de la extinción luminosa y oxígeno disuelto.



La conductividad del agua es de 392 $\mu\text{S/cm}$ en la superficie y de 419 $\mu\text{S/cm}$ en el fondo. La conductividad empieza a subir a partir de los 12 metros de profundidad.

Figura 5. Perfil vertical de la conductividad.

3.2. Hidroquímica del embalse

De los resultados analíticos obtenidos en la campaña de 2013 en la muestra integrada, se desprenden las siguientes apreciaciones:

- La concentración de fósforo total (PT) en la muestra integrada (zona fótica) fue de 9,99 $\mu\text{g P/L}$.
- La concentración de P soluble fue de 0,32 $\mu\text{g P/L}$.
- La concentración de nitrógeno total (NT) fue de 0,87 mg N/L.
- La concentración de nitrógeno inorgánico oxidado (nitrato + nitrito, NIO) tomó un valor de 0,72 mg N/L.
- La concentración de amonio (NH_4) resultó ser de 0,014 mg N/L.
- La concentración de sílice tomó un valor de 2,96 mg SiO_2/L .
- La alcalinidad en este embalse (zona fótica) fue de 3,12 meq/L.

3.3. Fitoplancton y concentración de clorofila

En el análisis realizado se han identificado un total de 25 especies, distribuidas en los siguientes grupos taxonómicos:

BACILLARIOPHYCEAE	7
XANTHOPHYCEAE	1
CHLOROPHYCEAE	9
CYANOBACTERIA	1
CRYPTOPHYCEAE	4
DINOPHYCEAE	2
EUGLENOPHYCEAE	1

La estructura y composición de la comunidad de fitoplancton se resume en la tabla 2:

Tabla 2. Estructura y composición de la comunidad de fitoplancton.

PARÁMETRO	UNIDAD	VALOR
Nº CÉLULAS TOTALES	nº cel./ml	1335,24
BIOVOLUMEN TOTAL	µm³/ml	376754
Diversidad Shannon-Wiener		3,05
CLASE PREDOMINANTE (DENSIDAD)		Cyanobacteria
Nº células/ml		558,68
ESPECIE PREDOMINANTE (DENSIDAD)		<i>Aphanocapsa sp.</i>
Nº células/ml		558,68
CLASE PREDOMINANTE (BIOVOLUMEN)		Dinophyceae
Nº células/ml		211036
ESPECIE PREDOMINANTE (BIOVOLUMEN)		<i>Ceratium hirundinella</i>
Nº células/ml		122183

La concentración de clorofila fue de 1,34 µg/L en la muestra integrada, cuya profundidad se indica en la figura 6 con una línea roja.

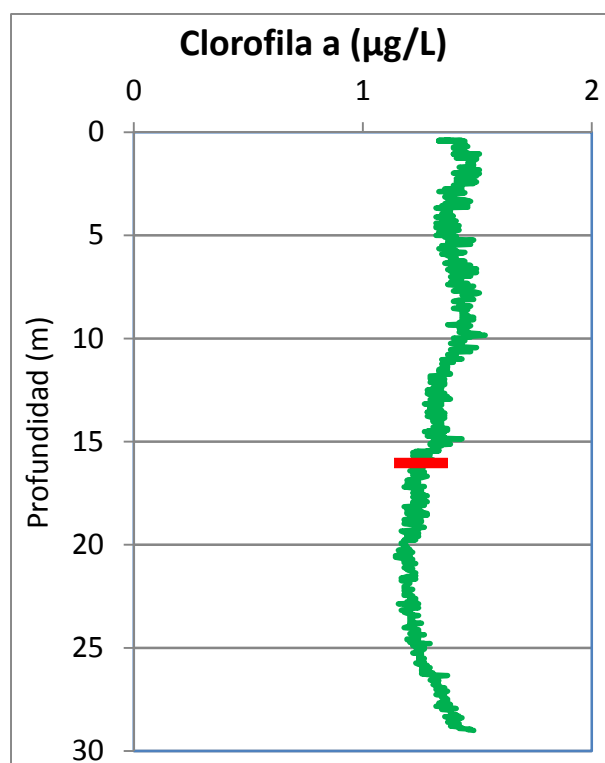


Figura 6. Perfil vertical de la clorofila a.

La composición de la población fitoplanctónica de la muestra integrada de la zona fótica indicando su abundancia y biovolumen, y la densidad cualitativa de la muestra integrada de fitoplancton del muestreo vertical con red de plancton, muestran los resultados de la tabla 3:

Tabla 3. Composición detallada de la comunidad de fitoplancton.

COMPOSICIÓN	ABUNDANCIA	BIOVOLUMEN	CUALITATIVO
FITOPLANCTON	cél./ml	µm ³ /ml	
BACILLARIOPHYCEAE/CENTRALES/			
<i>Aulacoseira granulata</i>	8,38	1316,35	2
<i>Aulacoseira granulata</i> var. <i>angustissima</i>	-	-	1
<i>Cyclotella radiosa</i>	36,31	7985,88	-
<i>Cyclotella</i> sp. pequeña	117,32	13821,71	-
BACILLARIOPHYCEAE /PENNALES/			
<i>Achnantheidium minutissimum</i> (= <i>Achnanthes minutissima</i>)	2,79	526,54	-
<i>Amphora ovalis</i>	-	-	1
<i>Asterionella formosa</i>	8,38	6845,04	2
<i>Encyonema minutum</i> (= <i>Cymbella minuta</i>)	-	-	1

COMPOSICIÓN	ABUNDANCIA	BIOVOLUMEN	CUALITATIVO
FITOPLANCTON	cél./ml	µm ³ /ml	
<i>Nitzschia acicularis</i>	2,79	1787,77	1
<i>Nitzschia palea</i>	8,38	4458,25	1
CHRYSTOPHYCEAE			
<i>Dinobryon bavaricum</i>	-	-	1
<i>Dinobryon divergens</i>	-	-	1
XANTHOPHYCEAE			
<i>Trachydiscus sexangulatus</i>	5,59	702,06	-
CHLOROPHYTA			
<i>Closteriopsis acicularis</i>	2,79	530,74	1
<i>Coelastrum microporum</i>	22,35	4586,76	2
<i>Chlamydomonas</i> sp.	5,59	1497,72	1
<i>Oocystis borgei</i>	11,17	1117,36	1
<i>Oocystis lacustris</i>	-	-	1
<i>Oocystis marssonii</i>	16,76	1777,08	1
<i>Pandorina morum</i>	22,35	6739,73	2
<i>Planctonema lauterbornii</i>	16,76	737,16	2
<i>Pseudodidymocystis planctonica</i> (= <i>Didymocystis planctonica</i>)	58,66	1105,74	-
<i>Scenedesmus ellipticus</i> (= <i>Scenedesmus linearis</i>)	89,39	24712,34	1
<i>Sphaerocystis planctonica</i>	-	-	1
CYANOBACTERIA			
<i>Aphanocapsa</i> sp.	558,68	5265,41	3
<i>Oscillatoria</i> sp.	-	-	1
CRYPTOPHYCEAE			
<i>Cryptomonas erosa</i>	5,59	17200,35	1
<i>Cryptomonas marsonii</i>	22,35	12730,60	1
<i>Plagioselmis</i> (= <i>Rhodomonas</i>) <i>lacustris</i>	184,36	24326,21	1
<i>Plagioselmis nannoplanctica</i> (= <i>Rhodomonas lacustris</i> var. <i>nannoplanctica</i>)	100,56	9214,47	-
DINOPHYCEAE			
<i>Ceratium hirundinella</i>	2,79	122182,81	1
<i>Gymnodinium wawrikan</i>	-	-	1
<i>Peridinium cinctum</i>	2,79	88853,85	2
EUGLENOPHYCEAE			
<i>Trachelomonas volvocina</i>	22,35	16732,31	1

COMPOSICIÓN	ABUNDANCIA	BIOVOLUMEN	CUALITATIVO
FITOPLANCTON	cél./ml	µm ³ /ml	
TOTALES BACILLARIOPHYCEAE	184,36	36741,53	
TOTALES XANTHOPHYCEAE	5,59	702,06	
TOTALES CHLOROPHYTA	245,82	42804,62	
TOTALES CYANOBACTERIA	558,68	5265,41	
TOTALES CRYPTOPHYCEAE	312,86	63471,63	
TOTALES DINOPHYCEAE	5,59	211036,66	
TOTALES EUGLENOPHYCEAE	22,35	16732,31	
TOTALES ALGAS	1335,24	376754,22	

Nota: Entre paréntesis se cita el anterior nombre de la especie.

Clases de abundancia	% de presencia
1	<9
2	10-24
3	25-60
4	61-99
5	>99

3.4. Zooplancton

En el análisis de zooplancton de las muestras del embalse de Santolea se han identificado un total de 10 especies, distribuidas en los siguientes grupos taxonómicos:

- 3 Cladocera
- 2 Copepoda
- 4 Rotifera
- 1 Turbellaria

La estructura y composición de la comunidad de zooplancton se resume en la tabla 4:

Tabla 4. Estructura y composición de la comunidad de zooplancton.

PARÁMETRO	UNIDAD	VALOR
PROFUNDIDAD	m	13,0
DENSIDAD TOTAL	individuos/L	138,08
BIOMASA TOTAL	µg/L	149,42
Diversidad Shannon-Wiener		3,15
CLASE PREDOMINANTE (DENSIDAD)		Rotíferos
individuos/L		55,96
ESPECIE PREDOMINANTE (DENSIDAD)		<i>Polyarthra dolichoptera</i>
individuos/L		47,69
CLASE PREDOMINANTE (BIOMASA)		Cladóceros
µg/L		76,62
ESPECIE PREDOMINANTE (BIOMASA)		<i>Copidodiaptomus numidicus</i>
µg/L		66,50
COLUMNA AGUA INTEGRADA (red vertical)		0 - 19 m
CLADÓCEROS: 31,02 %	COPÉPODOS: 59,74 %	ROTÍFEROS: 9,25 %

La composición detallada de la población zooplanctónica presente en la muestra cuantitativa de zooplancton indicando la densidad y biomasa, y el porcentaje de las especies presentes en la muestra integrada de la red vertical, se muestran en la tabla 5:

Tabla 5. Composición detallada de la comunidad de zooplancton.

COMPOSICIÓN	ABUNDANCIA	BIOMASA	PORCENTAJE
ZOOPLANCTON	Ind./L	µg/L	%
CLADÓCEROS			
<i>Bosmina longirostris</i>	-	-	2,87
<i>Ceriodaphnia pulchella</i>	10,77	12,92	16,66
<i>Daphnia longispina</i>	4,62	17,54	0,57
<i>Diaphanosoma mongolianum</i>	18,46	46,15	10,91
COPÉPODOS			
<i>Acanthocyclops americanus</i>	-	-	3,45
<i>Copidodiaptomus numidicus</i>	30,96	66,50	20,10
Fam. Cyclopidae	16,92	2,54	36,19
ROTÍFEROS			
<i>Ascomorpha ovalis</i>	1,54	0,10	0,06
<i>Asplanchna priodonta</i>	0,58	0,43	0,57
<i>Polyarthra dolichoptera</i>	47,69	2,43	7,47
<i>Polyarthra major</i>	6,15	0,80	0,57
<i>Synchaeta stylata</i>	-	-	0,57
OTROS			
Clase Turbellaria	0,38	-	-
Total Cladóceros	33,85	76,62	31,02
Total Copépodos	47,88	69,04	59,74
Total Rotíferos	55,96	3,76	9,25
Total Otros	0,38	0,00	-
Total	138,08	149,42	100,00

4. DIAGNÓSTICO DEL GRADO TRÓFICO

Se han considerado los indicadores especificados en la tabla 6, estableciéndose el estado trófico global del embalse según la metodología descrita en la sección 5 de la MEMORIA DEL ESTUDIO.

Tabla 6. Parámetros indicadores y rangos de estado trófico.

Parámetros Estado Trófico	Ultraoligotrófico	Oligotrófico	Mesotrófico	Eutrófico	Hipereutrófico
Concentración P ($\mu\text{g P/L}$)	0-4	4-10	10-35	35-100	>100
Disco de Secchi (m)	>6	6-3	3-1,5	1,5-0,7	<0,7
Clorofila a ($\mu\text{g/L}$) epilimnion	0-1	1-2,5	2,5-8	8,0-25	>25
Densidad algal (cel./ml)	<100	100-1000	1000-10000	10000-100000	>100000
VALOR PROMEDIO FINAL	> 4,2	3,4 – 4,2	2,6 – 3,4	1,8 – 2,6	< 1,8

En la tabla 7 se incluye el estado trófico indicado por cada uno de los parámetros, así como la catalogación de la masa de agua según la valoración de este estado trófico final.

Tabla 7. Diagnóstico del estado trófico del embalse de Santolea.

INDICADOR	VALOR	ESTADO TRÓFICO
P TOTAL	9,99	Oligotrófico
COLOROFILA a	1,34	Oligotrófico
DISCO SECCHI	5,85	Oligotrófico
DENSIDAD ALGAL	1335	Mesotrófico
ESTADO TROFICO FINAL	3,75	OLIGOTRÓFICO

Atendiendo a los criterios seleccionados, tanto el fósforo total (PT), la transparencia según el Disco de Secchi y la Clorofila a indican un estado oligotrófico de las aguas. Mientras que la densidad algal clasifica el embalse como mesotrófico. Combinando todos los indicadores el estado trófico final para el embalse de SANTOLEA ha resultado ser **OLIGOTRÓFICO**.

5. DIAGNÓSTICO DEL POTENCIAL ECOLÓGICO

a) Aproximación experimental (*PEexp*)

Se han considerado los indicadores especificados en la tabla 8, estableciéndose el potencial ecológico del embalse según la metodología descrita en la sección 6.3, apartado a) de la MEMORIA DEL ESTUDIO.

Tabla 8. Parámetros y rangos para la determinación del potencial ecológico experimental.

Indicador	Elementos	Parámetros	Máximo	Buena	Moderado	Deficiente	Malos
Biológico	Fitoplancton	Densidad algal (cel/ml)	<100	100-10 ³	10 ³ -10 ⁴	10 ⁴ -10 ⁵	>10 ⁵
		Biomasa algal, Clorofila a (µg/L)	0-1	1-2,5	2,5-8	8,0-25	>25
		Biovolumen algal (mm ³ /L)	<0,1	0,1-0,5	0,5-2	2-8	>8
		<i>Phytoplankton Assemblage Index (Q)</i>	>4	3-4	2-3	1-2	<1
		<i>Trophic Index (TI)</i>	<2,06	2,06-2,79	2,79-3,52	3,52-4,25	>4,25
		<i>Phytoplankton Trophic Index (PTI)</i>	>4,2	3,4-4,2	2,6-3,4	1,8-2,6	<1,8
	Zooplancton	<i>Phytoplankton Reservoir Trophic Index (PRTI)</i>	<3,8	3,8-6,6	6,6-9,4	9,4-12,2	>12,2
		<i>Zooplankton Reservoir Trophic Index (ZRTI)</i>	<3,8	3,8-6,6	6,6-9,4	9,4-12,2	>12,2
INDICADOR BIOLÓGICO (1)			> 4, 2	3, 4 -4, 2	2,6-3,4	1, 8 -2, 6	< 1, 8
Fisicoquímico	Transparencia	Profundidad Disco de Secchi (m)	>6	3-6	1, 5 -3	0, 7 -1,5	<0, 7
	Oxigenación	Concentración O ₂ (mg O ₂ /L)	>8	8-6	6-4	4-2	<2
	Nutrientes	Concentración de PT (µg P/L)	0-4	4-10	10-35	35-100	>100
INDICADOR FISICOQUÍMICO (2)			MPE	AS FUN	NO AS FUN		
			>4,2	3,4-4,2	<3,4		

(1) La valoración del indicador biológico se obtiene asignando la calificación del elemento de menor puntuación (fitoplancton o zooplancton) o peor calidad, según la metodología *one out, all out*.

(2) La valoración del indicador fisicoquímico se obtiene realizando la media de las puntuaciones obtenidas para los distintos elementos. Si la media de los 3 elementos es igual o superior a 4,2 se considera que se cumplen las condiciones fisicoquímicas propias del máximo potencial ecológico (MPE). Si se alcanzan o superan los 3,4 puntos, se considera que las condiciones fisicoquímicas aseguran el funcionamiento del ecosistema (AS.FUN). Si no se alcanzan los 3,4 puntos, el estado fisicoquímico no asegura el funcionamiento del ecosistema (NO AS.FUN).

La combinación de los dos indicadores, fisicoquímico y biológico, para la obtención del potencial ecológico experimental final sigue el esquema de decisiones indicado en la tabla 9:

Tabla 9. Combinación de los indicadores.

Indicador Biológico	Indicador Físicoquímico	Potencial Ecológico Experimental
Máximo	M P E	Máximo
Máximo	As Fun	Bueno
Máximo	No As Fun	Moderado
Bueno	M P E	Bueno
Bueno	As Fun	Bueno
Bueno	No As Fun	Moderado
Moderado	Indistinto	Moderado

En la tabla 10 se incluye el potencial indicado por cada uno de los parámetros e indicadores, así como la catalogación de la masa de agua según el potencial ecológico final.

Tabla 10. Diagnóstico del potencial ecológico del embalse de Santolea.

Indicador	Elementos	Parámetros	Valor	Potencial
Biológico	Fitoplancton	Densidad algal (cel./ml)	1335	Moderado
		Clorofila <i>a</i> (µg/L)	1,34	Bueno
		Biovolumen algal (mm ³ /L)	0,38	Bueno
		<i>Phytoplankton Assemblage Index (Q)</i>	3,80	Bueno
		<i>Phytoplankton Trophic Index (PTI)</i>	3,37	Moderado
		<i>Trophic Index (TI)</i>	2,68	Bueno
	Zooplancton	<i>Zooplankton Reservoir Trophic Index (ZRTI)</i>	8,26	Moderado
INDICADOR BIOLÓGICO			3,0	MODERADO
Físicoquímico	Transparencia	Disco de Secchi (m)	5,85	Bueno
	Oxigenación	O ₂ hipolimnética (mg O ₂ /L)	6,16	Bueno
	Nutrientes	Concentración de PT (µg P/L)	9,99	Bueno
INDICADOR FÍSICOQUÍMICO			4,0	AS FUN
POTENCIAL ECOLÓGICO P_{Exp}				MODERADO

b) Aproximación normativa (*PE_{norm}*)

Se han considerado los indicadores, los valores de referencia y los límites de clase bueno-moderado (B/M), así como sus ratios de calidad ecológica (RCE), especificados en las tablas 11 y 12, estableciéndose el potencial ecológico del embalse según la metodología descrita en la sección 6.3, apartado b) de la MEMORIA DEL ESTUDIO.

Tabla 11. Valores de referencia propios del tipo (VR_t) y límites de cambio de clase de potencial ecológico (B/M, Bueno-Moderado) de los indicadores de los elementos de calidad de embalses (Orden ARM/2656/2008).

Tipo	Elemento	Parámetro	Indicador	VR_t	B/M	B/M (RCE)
Tipo 1	Fitoplancton	Biomasa	Clorofila <i>a</i> mg/m ³	2	9,5	0,21
			Biovolumen mm ³ /L	0,36	1,9	0,19
		Composición	Índice de Catalán (IGA)	0,1	10,6	0,97
			Porcentaje de cianobacterias	0	9,2	0,91
Tipo 7	Fitoplancton	Biomasa	Clorofila <i>a</i> mg/m ³	2,6	6	0,43
			Biovolumen mm ³ /L	0,76	2,1	0,36
		Composición	Índice de Catalán (IGA)	0,61	7,7	0,98
			Porcentaje de cianobacterias	0	28,5	0,72
Tipo 9	Fitoplancton	Biomasa	Clorofila <i>a</i> mg/m ³	2,6	6	0,43
			Biovolumen mm ³ /L	0,76	2,1	0,36
		Composición	Índice de Catalán (IGA)	0,61	7,7	0,98
			Porcentaje de cianobacterias	0	28,5	0,72
Tipo 10	Fitoplancton	Biomasa	Clorofila <i>a</i> mg/m ³	2,6	6	0,43
			Biovolumen mm ³ /L	0,76	2,1	0,36
		Composición	Índice de Catalán (IGA)	0,61	7,7	0,98
			Porcentaje de cianobacterias	0	28,5	0,72
Tipo 11	Fitoplancton	Biomasa	Clorofila <i>a</i> mg/m ³	2,6	6	0,43
			Biovolumen mm ³ /L	0,76	2,1	0,36
		Composición	Índice de Catalán (IGA)	0,61	7,7	0,98
			Porcentaje de cianobacterias	0	28,5	0,72

Tabla 12. Parámetros, rangos del RECT y valores para la determinación del potencial ecológico normativo.

			RANGOS DEL RCET				
Indicador	Elementos	Parámetros	Máximo	Bueno	No alcanza		
Biológico	Fitoplancton	Clorofila a (µg/L)	> 1	1-0,43	< 0,43		
		Biovolumen algal (mm ³ /L)	> 1	1-0,36	< 0,36		
		Índice de Catalán (IGA)	> 1	1-0,9822	< 0,9822		
		Porcentaje de cianobacterias	> 1	1-0,72	< 0,72		
			Máximo	Bueno	Moderado	Deficiente	Malo
INDICADOR BIOLÓGICO			> 0,8	0,6-0,8	0,4-0,6	0,2-0,4	< 0,2
			RANGOS DE VALORES				
Indicador	Elementos	Parámetros	Máximo	Bueno	Moderado	Deficiente	Malo
Fisicoquímico	Transparencia	Disco de Secchi (m)	>6	3-6	1, 5 -3	0, 7 -1,5	<0, 7
	Oxigenación	O ₂ hipolimnética (mg O ₂ /L)	>8	8-6	6-4	4-2	<2
	Nutrientes	Concentración de PT (µg P/L)	0-4	4-10	10-35	35-100	>100
			MPE	AS FUN	NO AS FUN		
INDICADOR FISICOQUÍMICO			>4,2	3,4-4,2	<3,4		

La combinación de los dos indicadores, fisicoquímico y biológico, para la obtención del potencial ecológico normativo final sigue el esquema de decisiones indicado en la tabla 13:

Tabla 13. Combinación de los indicadores.

Indicador Biológico	Indicador Fisicoquímico	Potencial Ecológico Normativo
Máximo	M P E	Máximo
Máximo	As Fun	Bueno
Máximo	No As Fun	Moderado
Bueno	M P E	Bueno
Bueno	As Fun	Bueno
Bueno	No As Fun	Moderado
Moderado	Indistinto	Moderado

En la tabla 14 se incluye el potencial indicado por cada uno de los parámetros, así como la catalogación de la masa de agua según el potencial ecológico final (*PE_{norm}*) tras pasar el filtro del indicador fisicoquímico.

Tabla 14. Diagnóstico del potencial ecológico (*PE_{norm}*) del embalse de Santolea.

Indicador	Elementos	Parámetro	Indicador	Valor	RCE	RCET	<i>PE_{norm}</i>
Biológico	Fitoplancton	Biomasa	Clorofila <i>a</i> (µg/L)	1,34	1,94	1,66	Máximo
			Biovolumen algal (mm ³ /L)	0,38	2,02	1,64	Máximo
			Media				1,65
		Composición	<i>Índice de Catalán (IGA)</i>	0,28	1,001	1,02	Máximo
			<i>Porcentaje de cianobacterias</i>	41,84	0,58	0,48	No alcanza
			Media				0,75
Media global						1,20	
INDICADOR BIOLÓGICO				1,20			MÁXIMO
Indicador	Elementos	Indicador	Valor			<i>PE_{norm}</i>	
Fisicoquímico	Transparencia	Disco de Secchi (m)	5,85			Bueno	
	Oxigenación	O ₂ hipolimnética (mg O ₂ /L)	6,16			Bueno	
	Nutrientes	Concentración de PT (µg P/L)	9,99			Bueno	
INDICADOR FISICOQUÍMICO				4,0			AS FUN
POTENCIAL ECOLÓGICO <i>PE_{norm}</i>				BUENO			

ANEXO I. REPORTAJE FOTOGRÁFICO



Figura 7. Vista de la presa del embalse



Figura 8. Vista del punto de acceso



Figura 9. Vista de la cola del embalse y la nueva presa del puente al fondo.